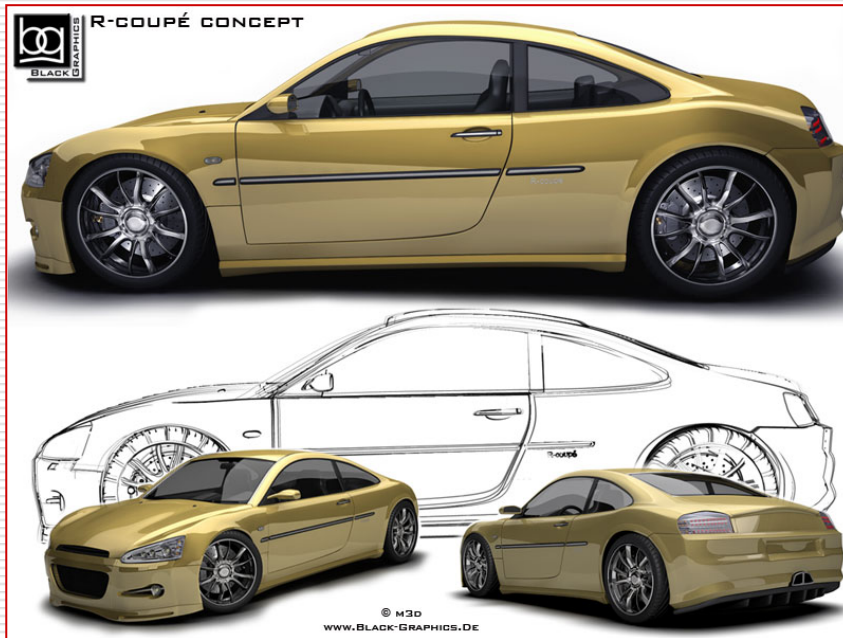


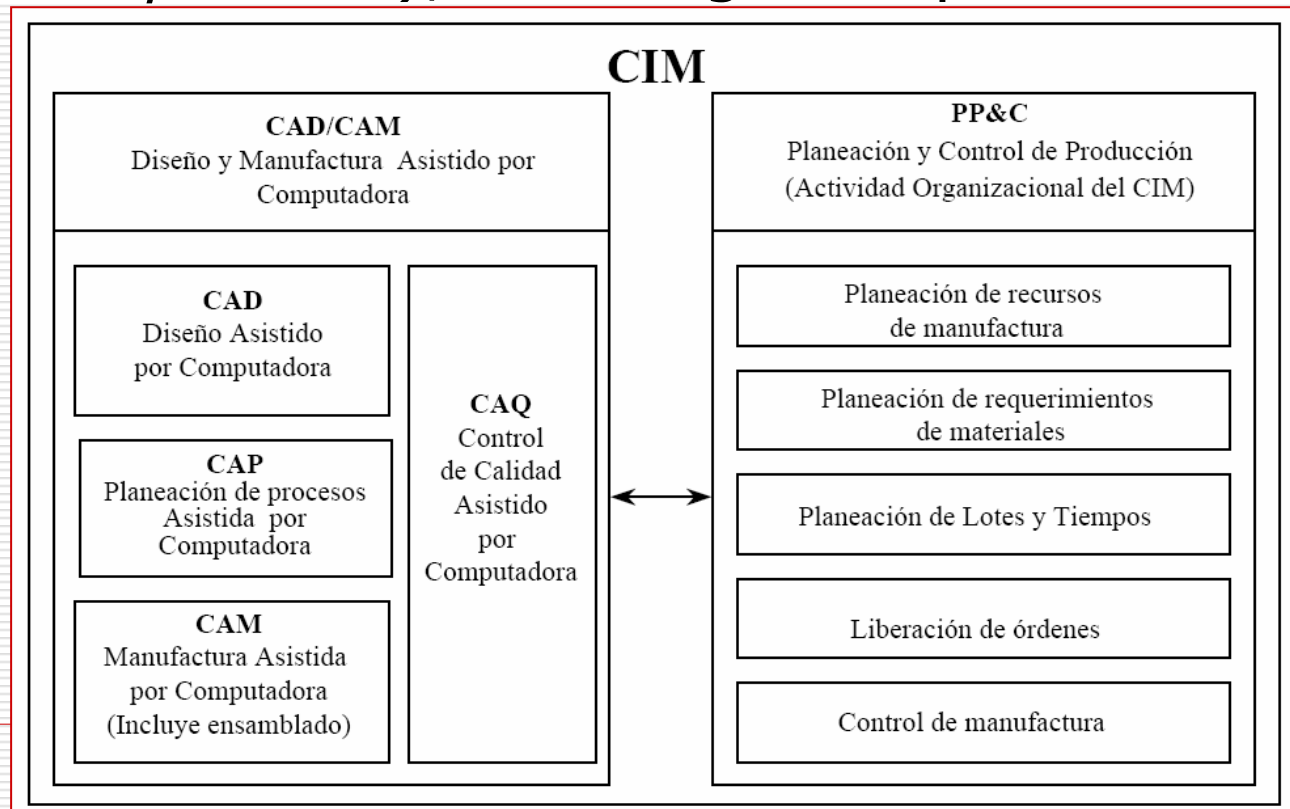
# AAC

## TEMA 2: ARQUITECTURAS PARA CAD/CAM



## 2.1. Introducción

- ❑ CAD/CAM : Diseño Asistido por Computador / Fabricación Asistida por Computador
- ❑ Se incluyen dentro de la CIM (*Fabricación Integrada por Computador*), tecnología cooperativa orientada a diseño, fabricación y control de la producción



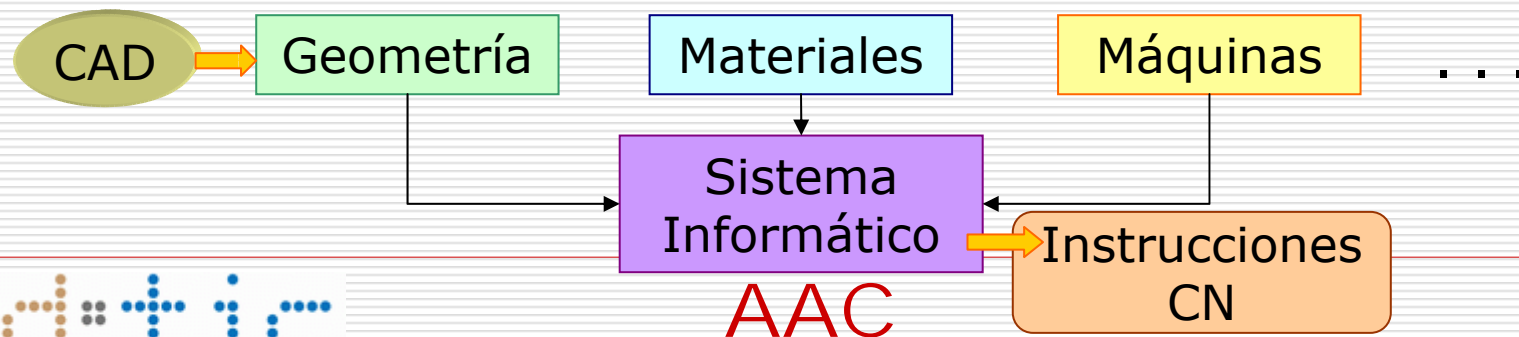
## 2.1. Introducción

---

- CAD : Utilización de sistemas informáticos para creación, modificación, análisis y optimización de un diseño
  - Se considera que una aplicación es CAD si incluye una interfaz gráfica y se aplica a alguna tarea de ingeniería
  - Herramientas de todo tipo: modelado, cálculo de propiedades físicas, etc.
  - El CAGD (Diseño Geométrico) es un caso particular del CAD, del que podemos distinguir dos variantes:
    - Modelado de sólidos: diseño de objetos poliédricos; orientado al diseño mecánico y arquitectónico
    - Diseño de curvas y superficies: orientado a la producción industrial (automóvil -Renault-, naval, aeronáutica)

## 2.1. Introducción

- CAM : Utilización de sistemas informáticos para la planificación, gestión y control de las operaciones de una planta de fabricación
  - Dos tipos principales de interfaz entre el sistema informático y los recursos de producción
    - Interfaz directa. Conexión directa al proceso de producción para monitorizar la actividad (supervisión y control)
    - Interfaz indirecta. El sistema informático constituye una ayuda para la fabricación, pero no ejerce control directo
  - Control numérico: Programación de máquinas herramienta para transformar la materia prima en producto terminado

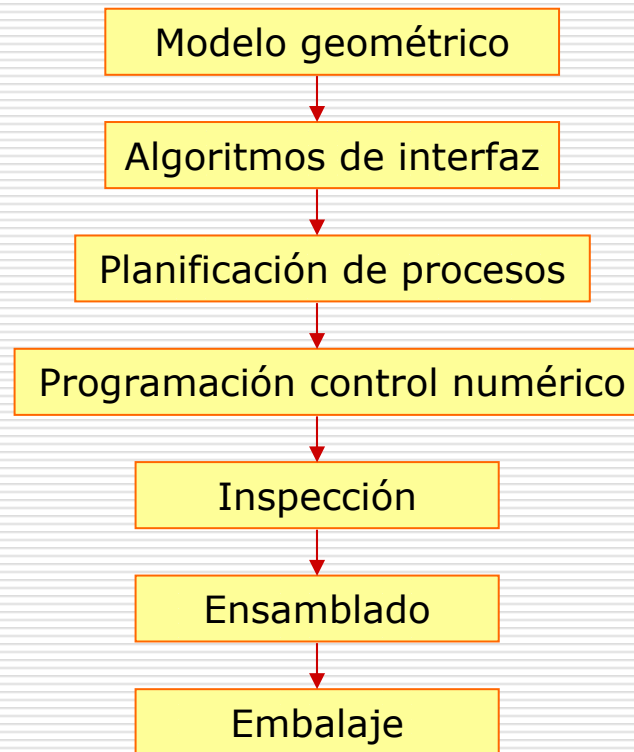


# 2.1. Introducción

---

## □ CAM

- Programación de robots. Selección y posicionamiento de piezas y herramientas para las máquinas de control numérico
- El proceso CAM:



## 2.1. Introducción

---

### □ Antecedentes históricos de las arquitecturas para CAD/CAM

|                    |   |
|--------------------|---|
| Años 50 y 60       | Ordenadores de gran tamaño (100 millones \$)<br>Primera pantalla gráfica (MIT)<br>Periféricos para gráficos interactivos (lápiz)<br>Aparición de pantallas de ordenador comerciales |
| Años 70            | Minicomputadores ( <i>Cabinas</i> ) de millón \$  |
| Principios 80      | Incremento de potencia (32 bits)  |
| Finales 80         | Sistemas potentes basados en estaciones UNIX  |
| Principios 90      | Estaciones PC   |
| Finales 90- s. XXI | Internet e Intranets<br>Aumenta la potencia y disminuye el coste del hardware<br>Se impone el PC  |

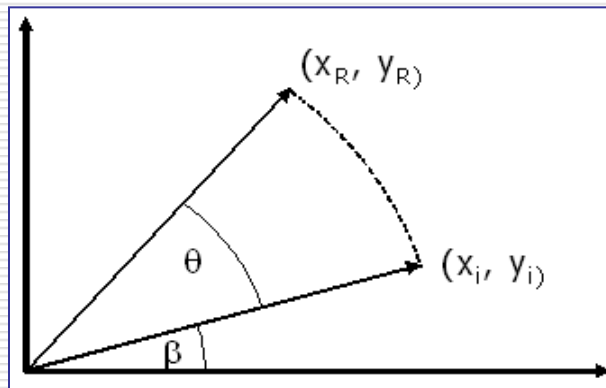
## 2.2. El algoritmo CORDIC

---

- ❑ En las aplicaciones CAD/CAM existe ciertas operaciones muy específicas que se repiten con bastante frecuencia (raíces, distancias, rotaciones).
- ❑ Estas operaciones son costosas en arquitecturas de propósito general.
- ❑ ¿Existen algoritmos o arquitecturas que permitan optimizar el cálculo de tales operaciones? Se busca precisión y eficiencia

## 2.2. El algoritmo CORDIC

- ❑ COordinate Rotation DIgital Computer : algoritmo concebido inicialmente para cálculo de rotaciones y otros problemas de trigonometría en computadores para navegación aérea (1959)
- ❑ Supongamos un sistema de coordenadas circular (2D) en el que queremos rotar un punto  $(x_i, y_i)$  un ángulo  $\theta$



Rotación perfecta:

$$x_R = M_i \cos (\beta + \theta) = x_i \cos \theta - y_i \sin \theta$$
$$y_R = M_i \sen (\beta + \theta) = x_i \sen \theta + y_i \cos \theta$$

$$\begin{bmatrix} x_R \\ y_R \end{bmatrix} = \begin{bmatrix} \cos \theta & -\sen \theta \\ \sen \theta & \cos \theta \end{bmatrix} \begin{bmatrix} x_i \\ y_i \end{bmatrix} = \text{ROT}(\theta) \begin{bmatrix} x_i \\ y_i \end{bmatrix}$$



## 2.2. El algoritmo CORDIC

---

- Podemos utilizar ángulos elementales  $\alpha_j$  para descomponer el ángulo de rotación  $\theta$ , tal que

$$\theta = \sum_{j=0}^{\infty} \alpha_j \Rightarrow \text{ROT}(\theta) = \prod_{j=0}^{\infty} \text{ROT}(\alpha_j)$$

- Entonces, tenemos que

$$x_R[j+1] = x_R[j] \cos(\alpha_j) - y_R[j] \sin(\alpha_j)$$

$$y_R[j+1] = x_R[j] \sin(\alpha_j) + y_R[j] \cos(\alpha_j)$$

## 2.2. El algoritmo CORDIC

---

- ¿Cómo podemos evitar los productos?

1. Descomponer las rotaciones en:

- Escalado y rotación-extensión (pseudorotación)

$$x_R[j+1] = \cos(\alpha_j) ( x_R[j] - y_R[j] \tan(\alpha_j) )$$

$$y_R[j+1] = \cos(\alpha_j) ( y_R[j] + x_R[j] \tan(\alpha_j) )$$

2. Escoger ángulos elementales:

$$\alpha_j = \tan^{-1}(\sigma_j 2^{-j}) = \sigma_j \tan^{-1}(2^{-j}) \quad , \quad \sigma_j \in \{-1, 1\}$$

- Así, aparece recurrencia en rotaciones-extensiones sin productos; **SÓLO SUMAS Y DESPLAZAMIENTOS**

$$x[j+1] = x[j] - \sigma_j 2^{-j} y[j]$$

$$y[j+1] = y[j] + \sigma_j 2^{-j} x[j]$$

## 2.2. El algoritmo CORDIC

---

- Las rotaciones-extensiones producen un escalado del módulo  $M[j]$

$$\begin{aligned}M[j+1] = K[j] M[j] &= \frac{1}{\cos(\alpha_j)} M[j] = (1 + \sigma_j^2 2^{-2j})^{1/2} M[j] = \\ &= (1 + 2^{-2j})^{1/2} M[j]\end{aligned}$$

- El factor de escalado total es:

$$K = \prod_{j=0}^{\infty} (1 + 2^{-2j})^{1/2} \approx 1.6468$$

- Se trata de un factor constante e independiente del ángulo de rotación

## 2.2. El algoritmo CORDIC

---

- La recurrencia para descomposición/acumulación del ángulo es:

$$z[j+1] = z[j] - \alpha_j = z[j] - \sigma_j \tan^{-1}(2^{-j})$$

- Por tanto, una micro-rotación CORDIC se calcula:

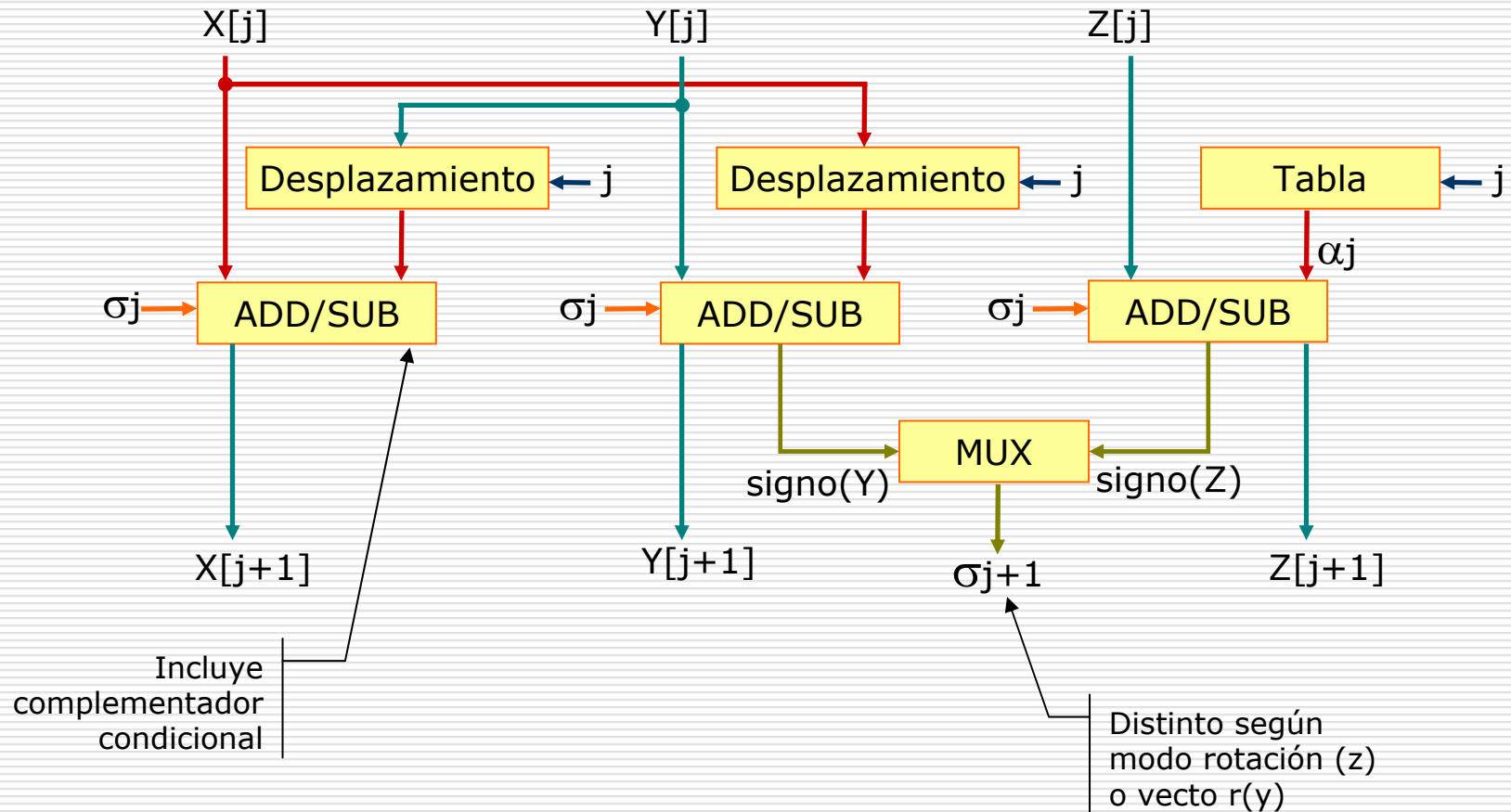
$$x[j+1] = x[j] - \sigma_j 2^{-j} y[j]$$

$$y[j+1] = y[j] + \sigma_j 2^{-j} x[j]$$

$$z[j+1] = z[j] - \sigma_j \tan^{-1}(2^{-j})$$

## 2.2. El algoritmo CORDIC

### □ Arquitectura de una iteración



## 2.2. El algoritmo CORDIC

---

### □ El modo *rotación*

- Se trata de rotar un vector inicial  $(x_i, y_i)$  por un ángulo  $\theta$
- Se descompone el ángulo:

$$z[j+1] = z[j] - \alpha_j = z[j] - \sigma_j \tan^{-1}(2^{-j})$$

$$x[0] = x_i, \quad y[0] = y_i, \quad z[0] = \theta$$

$$\sigma_j = \begin{cases} 1 & \text{si } z[j] \geq 0 \\ -1 & \text{si } z[j] < 0 \end{cases}$$

- Realiza micro-rotaciones, y los valores finales son:

$$x_f = K (x_i \cos \theta - y_i \sin \theta)$$

$$y_f = K (x_i \sin \theta + y_i \cos \theta)$$

$$z_f = 0$$

## 2.2. El algoritmo CORDIC

### □ El modo *rotación*

- Ejemplo:  $(x_i, y_i) = (1, 0.125)$ ,  $\theta = 67^\circ \cong 1.1693$  rad
- Solución exacta:  $(x_f, y_f) = (0.2756, 0.9693)$

| j | z[j]    | $\sigma_j$ | x[j]   | y[j]   |
|---|---------|------------|--------|--------|
| 0 | 1.1693  | 1          | 1.0    | 0.125  |
| 1 | 0.3839  | 1          | 0.875  | 1.125  |
| 2 | -0.0796 | -1         | 0.3125 | 1.1562 |
| 3 | 0.1653  | 1          | 0.7031 | 1.4843 |
| 4 | 0.0409  | 1          | 0.5175 | 1.5722 |
| 5 | -0.0214 | -1         | 0.4193 | 1.6046 |
| 6 | 0.0097  | 1          | 0.4694 | 1.5915 |

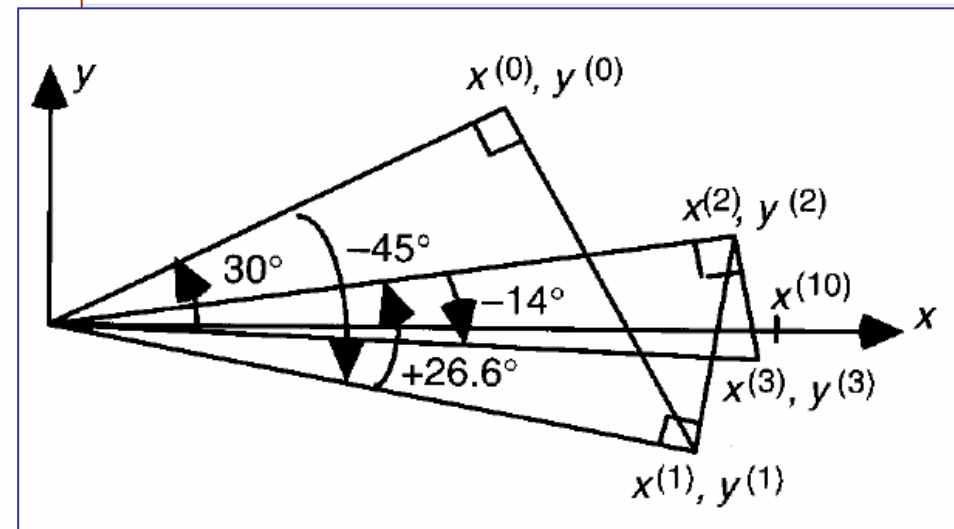
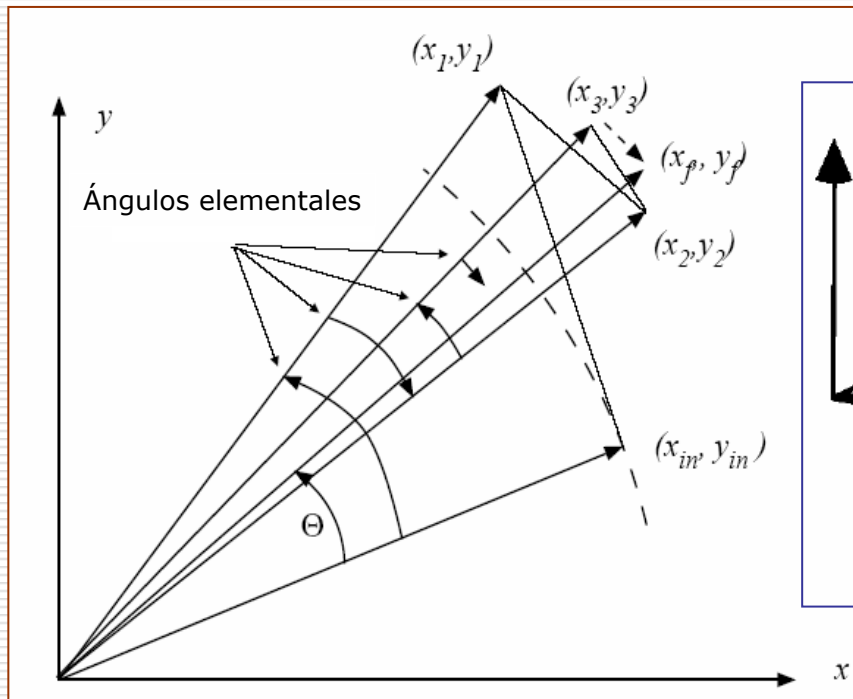
| j  | z[j]    | $\sigma_j$ | x[j]   | y[j]   |
|----|---------|------------|--------|--------|
| 7  | -0.0058 | -1         | 0.4445 | 1.5988 |
| 8  | 0.0019  | 1          | 0.4570 | 1.5953 |
| 9  | -0.0019 | -1         | 0.4508 | 1.5971 |
| 10 | 0.0000  | 1          | 0.4539 | 1.5962 |
| 11 | -0.0009 | -1         | 0.4524 | 1.5967 |
| 12 | -0.0004 | -1         | 0.4531 | 1.5965 |
| 13 |         |            | 0.4535 | 1.5963 |

## 2.2. El algoritmo CORDIC

### □ El modo *rotación*

■ Factor de escalado,  $K = 1.64676$

■  $(x_{13}, y_{13}) \frac{1}{K} = (0.2753, 0.9693)$ , errores  $< 2^{-12}$





## 2.2. El algoritmo CORDIC

---

### □ El modo *rotación*

#### ■ Cálculo de funciones trigonométricas

$$x[0] = 1/K, \quad y[0] = 0, \quad z[0] = \theta$$

$$x_f = \cos \theta$$

$$y_f = \text{sen } \theta$$

$$z_f = 0$$

#### ■ En general, si hacemos

$$x[0] = a/K, \quad y[0] = b/K, \quad z[0] = \theta$$

$$x_f = a \cos \theta - b \text{ sen } \theta$$

$$y_f = a \text{ sen } \theta - b \cos \theta$$

$$z_f = 0$$

## 2.2. El algoritmo CORDIC

---

□ El modo *vector* (*vectoring*)

- Se trata de rotar un vector inicial  $(x_i, y_i)$  hasta que  $y = 0$

$$\sigma_j = \begin{cases} 1 & \text{si } y[j] < 0 \\ -1 & \text{si } y[j] \geq 0 \end{cases}$$

- Se acumula el ángulo rotado en  $z$

$$x[0] = x_i, \quad y[0] = y_i, \quad z[0] = z_i$$

$$x_f = K(x_i^2 + y_i^2)^{1/2}$$

$$y_f = 0$$

$$z_f = z_i + \tan^{-1}(y_i/x_i)$$

## 2.2. El algoritmo CORDIC

- El modo *vector*
  - Ejemplo:  $(x_i, y_i) = (0.75, 0.43)$
  - Forzamos  $y = 0$  en 12 micro-rotaciones
  - Solución exacta:  $x_R = (x_i^2 + y_i^2)^{1/2} = 0.8645$
  - $z_R = \tan^{-1}\left(\frac{0.43}{0.75}\right) = 0.5205$

| j | y[j]    | $\sigma_j$ | x[j]   | z[j]   |
|---|---------|------------|--------|--------|
| 0 | 0.43    | -1         | 0.75   | 0.0    |
| 1 | -0.32   | 1          | 1.18   | 0.7853 |
| 2 | 0.27    | -1         | 1.34   | 0.3217 |
| 3 | -0.065  | 1          | 1.4075 | 0.5667 |
| 4 | 0.1109  | -1         | 1.4156 | 0.4423 |
| 5 | 0.0224  | -1         | 1.4225 | 0.5047 |
| 6 | -0.0219 | 1          | 1.4232 | 0.5360 |

| j  | y[j]    | $\sigma_j$ | x[j]   | z[j]   |
|----|---------|------------|--------|--------|
| 7  | 0.0002  | -1         | 1.4236 | 0.5204 |
| 8  | -0.0108 | 1          | 1.4236 | 0.5282 |
| 9  | -0.0053 | 1          | 1.4236 | 0.5243 |
| 10 | -0.0025 | 1          | 1.4236 | 0.5223 |
| 11 | -0.0011 | 1          | 1.4236 | 0.5213 |
| 12 | -0.0004 | 1          | 1.4236 | 0.5208 |
| 13 |         |            | 1.4236 | 0.5206 |

## 2.2. El algoritmo CORDIC

### □ El modo *vector*

- Ejemplo:  $(x_i, y_i) = (0.75, 0.43)$
- Ángulo acumulado  $z[13] = 0.5206$
- $K = 1.64676 \Rightarrow X[13]/K = 0.864$ , errores  $< 2^{-12}$

| j | y[j]    | $\sigma_j$ | x[j]   | z[j]   |
|---|---------|------------|--------|--------|
| 0 | 0.43    | -1         | 0.75   | 0.0    |
| 1 | -0.32   | 1          | 1.18   | 0.7853 |
| 2 | 0.27    | -1         | 1.34   | 0.3217 |
| 3 | -0.065  | 1          | 1.4075 | 0.5667 |
| 4 | 0.1109  | -1         | 1.4156 | 0.4423 |
| 5 | 0.0224  | -1         | 1.4225 | 0.5047 |
| 6 | -0.0219 | 1          | 1.4232 | 0.5360 |

| j  | y[j]    | $\sigma_j$ | x[j]   | z[j]   |
|----|---------|------------|--------|--------|
| 7  | 0.0002  | -1         | 1.4236 | 0.5204 |
| 8  | -0.0108 | 1          | 1.4236 | 0.5282 |
| 9  | -0.0053 | 1          | 1.4236 | 0.5243 |
| 10 | -0.0025 | 1          | 1.4236 | 0.5223 |
| 11 | -0.0011 | 1          | 1.4236 | 0.5213 |
| 12 | -0.0004 | 1          | 1.4236 | 0.5208 |
| 13 |         |            | 1.4236 | 0.5206 |

## 2.2. El algoritmo CORDIC

---

- Estudio de convergencia, rango y precisión
  - La convergencia está garantizada para ángulos en el rango  $[-99.7^\circ, 99.7^\circ]$ , que resulta de la suma

$$\theta_{\max} = \sum_{j=0}^{\infty} \tan^{-1}(2^{-j})$$

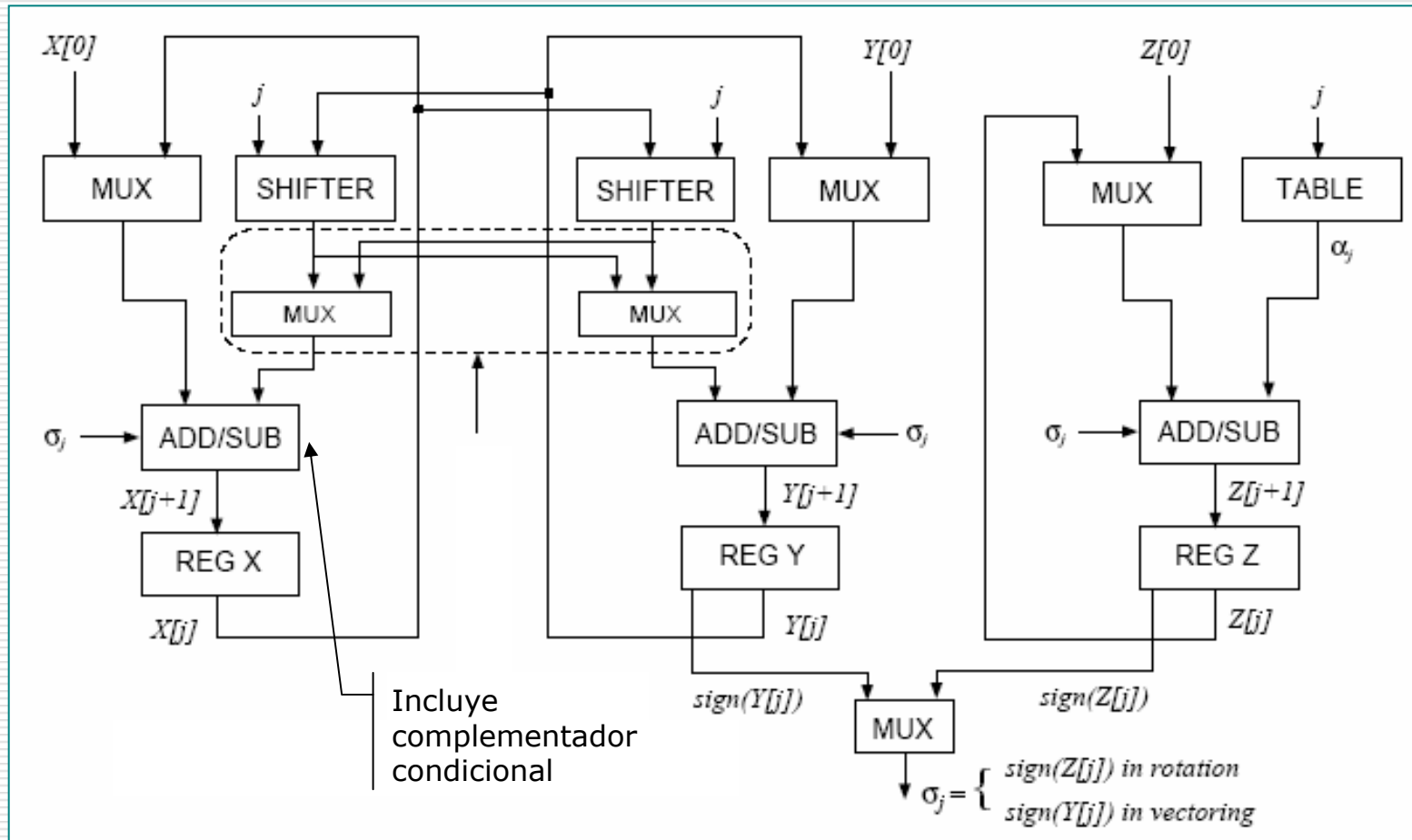
- Se tiene convergencia al cumplirse que

$$\tan^{-1}(2^{-i}) \leq \sum_{j=i+1}^{\infty} \tan^{-1}(2^{-j})$$

- Para  $k$  bits de precisión, se necesitan  $k$  iteraciones.
- Para grandes  $i$ ,  $\tan^{-1}(2^{-i}) \cong 2^{-i}$

## 2.2. El algoritmo CORDIC

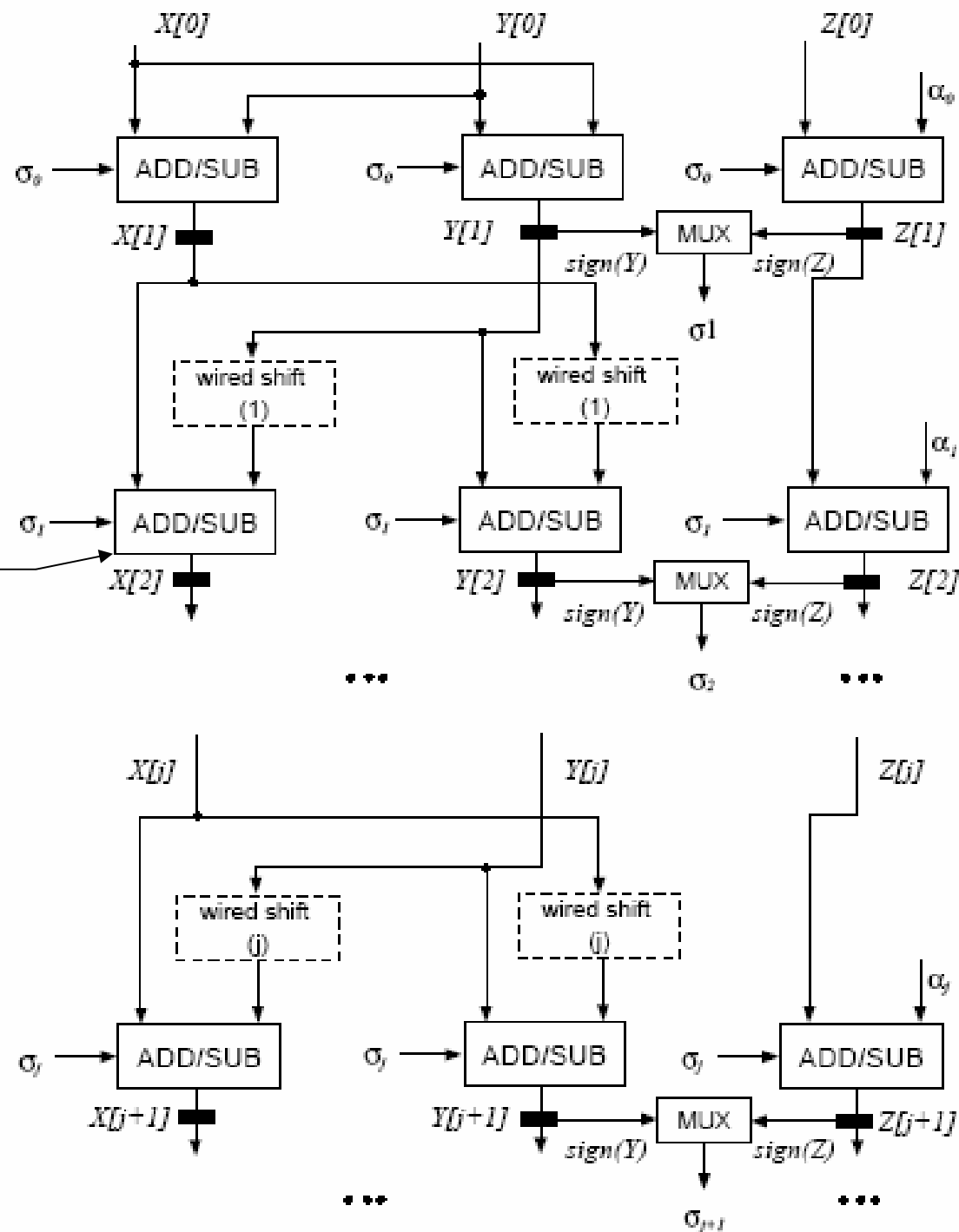
### □ Arquitectura palabra-serie



## 2.2. El algoritmo

### □ Arquitectura pipeline

Incluye complementador condicional



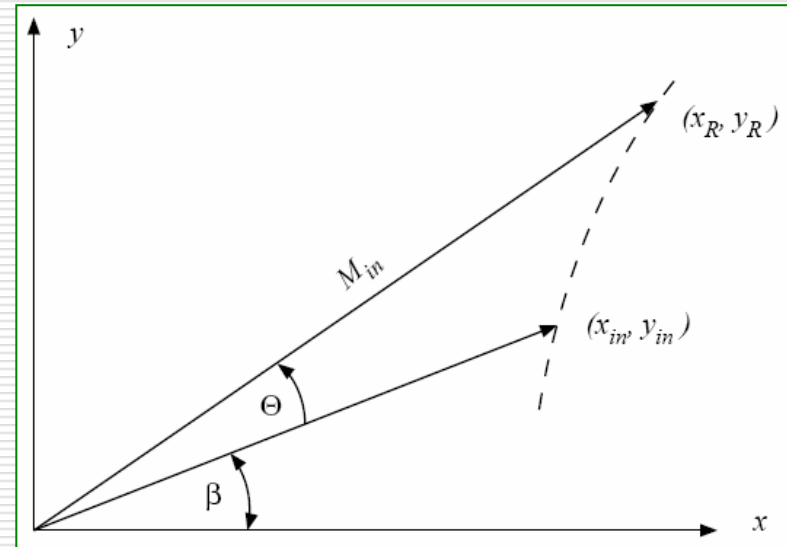
## 2.2. El algoritmo CORDIC

### □ Extensión a coordenadas hiperbólicas

$$\begin{bmatrix} x_R \\ y_R \end{bmatrix} = \begin{bmatrix} \cosh \theta & -\sinh \theta \\ \sinh \theta & \cosh \theta \end{bmatrix} \begin{bmatrix} x_i \\ y_i \end{bmatrix}$$

- Las micro-rotaciones hiperbólicas serían:

$$\begin{aligned} x[j+1] &= x[j] + \sigma_j 2^{-j} y[j] \\ y[j+1] &= y[j] + \sigma_j 2^{-j} x[j] \\ z[j+1] &= z[j] - \sigma_j \tanh^{-1}(2^{-j}) \end{aligned}$$



- El factor de escalado en la iteración  $j$  resulta:

$$K_h[j] = (1 - 2^{-2j})^{1/2}$$

- Ya que  $\tanh^{-1}(2^0) = \infty$  (y  $K_h[0]=0$ ), se ha de comenzar desde la iteración  $j = 1$



## 2.2. El algoritmo CORDIC

---

### □ Extensión a coordenadas hiperbólicas

- Problema: no hay convergencia con la secuencia de ángulos  $\tanh^{-1}(2^{-j})$ , ya que:

$$\tanh^{-1}(2^{-i}) > \sum_{j=i+1}^{\infty} \tanh^{-1}(2^{-j})$$

- Solución sencilla: repetir ciertas iteraciones:

$$\sum_{j=i+1}^{\infty} \tanh^{-1}(2^{-j}) < \tanh^{-1}(2^{-i}) < \sum_{j=i+1}^{\infty} \tanh^{-1}(2^{-j}) + \tanh^{-1}(2^{-(3j+1)})$$

- Existe convergencia al repetir las iteraciones 4, 13, 40, ...,  $3k + 1$
- Con estas iteraciones,  $K_h \cong 0.82816$ ,  $\theta_{\max} = 1.11817$  rad

## 2.2. El algoritmo CORDIC

---

### □ Extensión a coordenadas hiperbólicas

#### ■ Valores finales:

##### □ Modo rotación

$$x_f = K_h (x_i \cosh \theta + y_i \sinh \theta)$$

$$y_f = K_h (x_i \sinh \theta + y_i \cosh \theta)$$

$$z_f = 0$$

##### □ Modo vector

$$x_f = K_h (x_i^2 - y_i^2)^{1/2}$$

$$y_f = 0$$

$$z_f = z_i + \tanh^{-1}(y_i/x_i)$$

## 2.2. El algoritmo CORDIC

### □ Extensión a coordenadas lineales

- Las micro-rotaciones serían (factor de escalado = 1):

$$x[j+1] = x[j]$$

$$y[j+1] = y[j] + \sigma_j 2^{-j} x[j]$$

$$z[j+1] = z[j] - \sigma_j 2^{-j}$$

### □ Modo rotación

$$x_f = x_i$$

$$y_f = y_i + x_i z_i$$

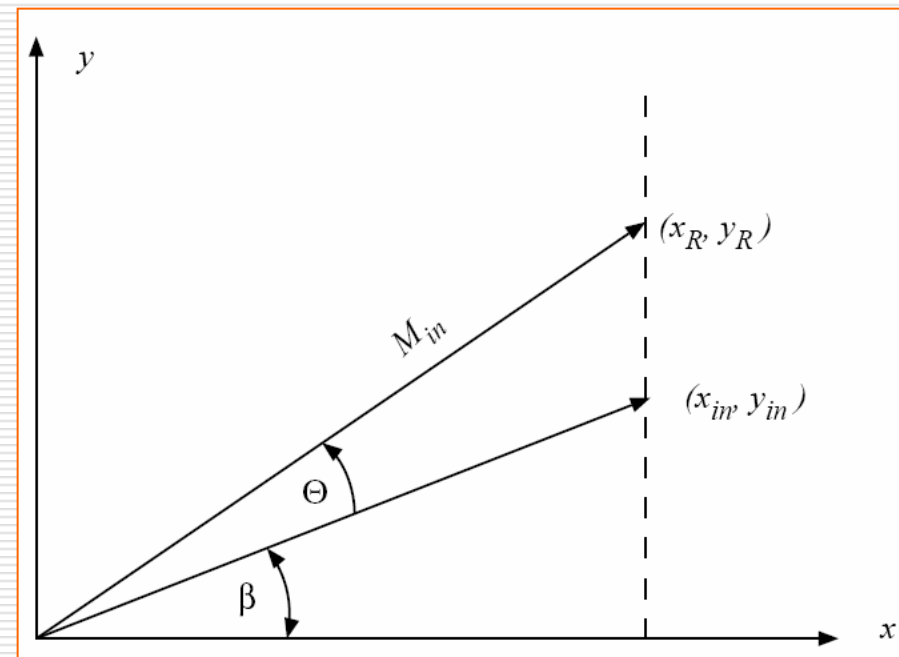
$$z_f = 0$$

### □ Modo vector

$$x_f = x_i$$

$$y_f = 0$$

$$z_f = z_i + y_i/x_i$$



## 2.2. El algoritmo CORDIC

---

□ Descripción unificada del algoritmo:

- Coordenadas circulares:  $m = 1$
- Coordenadas hiperbólicas:  $m = -1$
- Coordenadas lineales:  $m = 0$
- Modo rotación:  $\sigma_j = \text{signo}(z[j]) \in \{-1, 1\}$
- Modo vector:  $\sigma_j = -\text{signo}(y[j]) \in \{-1, 1\}$

$$x[j+1] = x[j] - m \sigma_j 2^{-j} y[j]$$

$$y[j+1] = y[j] + \sigma_j 2^{-j} x[j]$$

$$z[j+1] = \begin{cases} z[j] - \sigma_j \tan^{-1}(2^{-j}) & \text{si } m = 1 \\ z[j] - \sigma_j \tanh^{-1}(2^{-j}) & \text{si } m = -1 \\ z[j] - \sigma_j 2^{-j} & \text{si } m = 0 \end{cases}$$

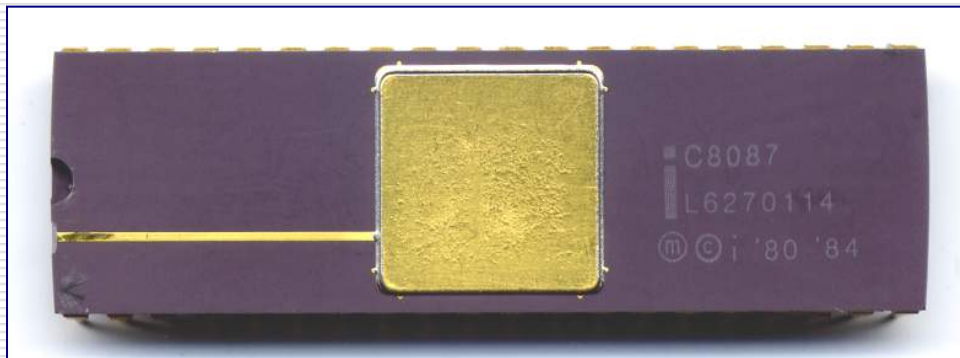
## 2.2. El algoritmo CORDIC

- Otras funciones que podemos calcular:

| m  | Modo     | Valores iniciales |       |          | $X_R$           | $Y_R$          | $Z_R$           |
|----|----------|-------------------|-------|----------|-----------------|----------------|-----------------|
|    |          | $x_i$             | $y_i$ | $z_i$    |                 |                |                 |
| 1  | rotación | 1                 | 0     | $\theta$ | $\cos \theta$   | $\sen \theta$  |                 |
| -1 | rotación | 1                 | 0     | $\theta$ | $\cosh \theta$  | $\sinh \theta$ |                 |
| -1 | rotación | a                 | a     | $\theta$ | $a e^\theta$    | $a e^\theta$   |                 |
| 1  | vector   | 1                 | a     | $\pi/2$  | $(a^2+1)^{1/2}$ |                | $\cot^{-1}(a)$  |
| -1 | vector   | a                 | 1     | 0        | $(a^2-1)^{1/2}$ |                | $\coth^{-1}(a)$ |
| -1 | vector   | a+1               | a-1   | 0        | $2 a^{1/2}$     |                | $0.5 \ln(a)$    |
| -1 | vector   | a+1/4             | a-1/4 | 0        | $a^{1/2}$       |                | $\ln(a/4)$      |
| -1 | vector   | a+b               | a-b   | 0        | $2 (ab)^{1/2}$  |                | $0.5 \ln(a/b)$  |

## 2.2. El algoritmo CORDIC

- Utilización del CORDIC:
  - Calculadoras: HP 35 (1972)
  - Coprocesadores: Intel 8087 (1980)



- No se ha utilizado de forma masiva...
- ¿Ventajas?
- ¿Inconvenientes?